

بررسی مولکولی جمعیت ذخایر ماهی حلوا سفید (*Pampus argenteus*)

خلیج فارس و دریای عمان در آبهای ایران و کویت

سهراب رضوانی کیل کلانی^(۱)؛ نازلی کلستانی^(۲)؛ محمد رضا فاطمی^(۳)؛ فرامرز لالوئی^(۴) و
جاسم غفله مرمضی^(۵)

Rezvani@ifro.ir

- ۱- موسسه تحقیقات شیلات ایران، تهران صندوق پستی: ۱۱۱۶-۶۱۰۵-۱۴۱۰۵
- ۲- دانشگاه آزاد اسلامی واحد علوم و تحقیقات، تهران صندوق پستی: ۷۷۵-۱۵۰۱۴
- ۴- پژوهشکده اکولوژی دریای خزر، ساری صندوق پستی: ۹۱۶
- ۵- پژوهشکده آبزی پروری جنوب کشور، اهواز صندوق پستی: ۸۶۶/۴۱۶۴۵
- تاریخ دریافت: بهمن ۱۳۸۶
- تاریخ پذیرش: دی ۱۳۸۷

چکیده

بمنظور بررسی مولکولی جمعیت ماهی حلوا سفید خلیج فارس و دریای عمان تعداد ۱۶۲ نمونه شامل ۳۸ نمونه ارسالی از کویت و ۱۲۴ نمونه از ایران که ۴۴ نمونه از استان خوزستان و ۴۲ نمونه از چابهار و ۳۸ نمونه از بوشهر بود، مورد آزمایش قرار گرفت.

کلیه نمونه ها با روش فنل-کلروفرم استخراج شد و با یک جفت پرایمر ژن *ND2*-PCR گردید که در کلیه نمونه ها محصول PCR در حدود ۱۳۰۰ جفت باز بود. جهت آنالیز RFLP از آنزیم محدود الاثر شامل *Tas I*, *Dra I*, *BseNI*, *Hin6I*, *Alw26 I*, *Tru I*, *Hpa II*, *Hinf I*, *Hae III*, *EcoR I*, *Pst I*, *Hind III*, *Bcl I*, *Alu I*, *J Hinc II*, *Acc II* استفاده شد و با انجام الکتروفورز سیستم PAGE (ژل پلی آکریل آمید) و رنگ آمیزی نیترات نقره مشاهده گردید. از بین ۱۶ آنزیم بررسی شده، ۴ آنزیم *Hpa II*, *Acc II*, *Alu I*, *Hinf I* و *Dar I* دارای الگوهای پلی مورفیسم بوده است. بطور کلی الگوهای پلی مورفیسم در ۱۳ نمونه از ۱۶۲ نمونه دیده شد. از بین هاپلوتایپ های پلی مورفیسم بدست آمده، ۶ هاپلوتایپ از هاپلوتایپ های نادر بودند و تنها هر کدام یک بار تکرار شدند، اما سایر هاپلوتایپ های پلی مورفیسم که تنها ۴ نوع بودند بیش از یک بار تکرار شدند. آنالیز آماری صورت گرفته با استفاده از نرم افزار REAP تفاوت معنی داری را در بین مناطق مورد بررسی نشان نداد ($P \geq 0.05$). در جمع بندی می توان اعلام کرد که ژن *NDS* میتوکندری قادر به تفکیک جمعیتهای احتمالی حلوا سفید در آبهای ایرانی خلیج فارس و دریای عمان و همچنین آبهای کویت نبوده و نمونه های بررسی شده وجود یک جمعیت را نشان می دهند.

لغات کلیدی: PCR-RFLP، ماهی حلوا سفید، *Pampus argenteus*، خلیج فارس و دریای عمان، ایران

* نویسنده مسئول

مقدمه

اقیانوس آرام جدا کردند. Alarcon و همکاران در سال ۲۰۰۴ تفاوت معنی‌داری را بین ساختار ژنتیکی جمعیت شانک وحشی و پرورشی (*Sparus aurata*) با استفاده از مولکول mtDNA بدست آوردند. ماهی blue gill (*Lepomis macrochirus*) اولین گونه ماهی بود که بوسیله آنالیز DNA-RFLP، Avise *et al.*, 1984) بتدریج این روش برای مطالعه شد (Eimanifar *et al.*, 2006). میتوکندریال آن مطالعه ژنتیکی جمعیت دیگر ماهیان گسترش یافت. از اطلاعات چاپ شده چنین بنظر می‌آید که بیشترین مطالعات بر روی ماهی آزاد و در سالهای اخیر روی سختپوستان و تاسماهیان Hynes *et al.*, 1996; Pourkazemi, 1996; Rezvani Gilkolaei, 1997, 2000) صورت گرفته است.

همچنین مطالعات در مورد آنالیز mtDNA روی جمعیت گونه‌های تن ماهیان اقیانوس آتلانتیک و آرام (Graves *et al.*, 1984), آرتیمیای دریاچه ارومیه (Memis & Kohlmann, 2002; Kohlmann *et al.*, 2002) کپور معمولی (*Macruronus magellanicus*, D'Amato & Carvalho,) 2006) صورت گرفته است. شناسایی مولکولی جمعیت‌های احتمالی این گونه در کنار روش‌هایی نظیر مورفومتریک و مریستیک می‌تواند اطلاعات دقیق‌تری از ذخایر این گونه که مشترک بین آبهای ایران و کشورهای عربی است در اختیار مدیریت شیلاتی قرار دهد تا برای اعمال مدیریت، بهره‌برداری پایدار و مستدله از آن، مورد استفاده قرار گیرد. در این تحقیق از روش مولکول PCR-RFLP بر روی زن ND₂ از مولکول mtDNA استفاده شده است که هدف آن شناسایی و تمایز جمعیت‌های احتمالی این گونه در آبهای کویت و ایران در محدوده آبهای خلیج فارس و دریای عمان می‌باشد.

مواد و روش کار

تعداد ۱۲۴ نمونه ماهی حلوا سفید از آبهای ایران شامل؛ ۴۴ نمونه از آبهای استان خوزستان (بحرکان، منطقه اهواز و خوریات) و ۴۲ نمونه از دریای عمان (چابهار) و ۳۸ نمونه از بوشهر با استفاده از دامهای گوشگیر (Gillnet) صید و نمونه باله از ماهیان تجاری تهیه گردید و در توبهای ۱۵۰۰ میلی‌لیتری حاوی الكل اتیلیک مطلق نگهدای شدند و علاوه بر این ۳۸ عدد نمونه نیز توسط محققین انسستیتو تحقیقات علوم کویت (Kuwait Institute for Scientific Research) از آبهای کویت جمع‌آوری و با روش مشابه نگهداری و به موسسه تحقیقات شیلات ایران ارسال شد.

ماهی زبیدی (*Pampus argenteus*) که به زبان فارسی حلوا سفید نامیده می‌شود دارای پراکنش وسیعی بوده بطوریکه بین مناطق اقیانوس هند تا غرب اقیانوس آرام و در سواحل هندوستان (Kagwade, 1988; Pati, 1982) و مناطقی که به چین، جنوب غربی کره (Cho *et al.*, 1989) و مناطقی که به غرب خلیج فارس منتهی می‌شوند، پراکنده است. این گونه از آبهای کویت به سمت عراق مهاجرت می‌کند و سپس به آبهای خوزستان می‌رسد و در خورهای ایران تخریزی می‌نماید (Parsamanesh, 2001; Al-Hossani, 2000).

ولی نسبت و همکاران در سال ۱۳۸۳ به روش مساحت جاروب شده پراکنش و تراکم این گونه را در آبهای ایران مورد بررسی قرار دادند که مشخص شد که بالاترین تراکم در منطقه شرق جزیره هرمز (محدوده بین آبهای خلیج فارس و دریای عمان) و کمترین تراکم در آبهای دریای عمان بوده است. حلوا سفید، ماهیانی گلهای و پلازیک با اندازه متوسط (نهایت طول ۶۰ سانتیمتر) هستند و در آبهای کم عمق، عموماً در مناطق ساحلی زندگی می‌کنند و گاهی وارد مصب (دهانه رود نزدیک به دریا) می‌شوند. ماهیان ریز و سختپوستان پلازیک در جیره غذایی آنها حائز اهمیت هستند. آنها معمولاً توسط تورهای تراول صید می‌شوند و جزء مهمترین ماهیان خوارکی بحساب می‌آیند. یک گونه از این خانواده به نام *Pampus argenteus* از اهمیت قابل توجه در خلیج فارس و دریای عمان برخوردار است (ستاری، ۱۳۸۲).

گونه حلوا سفید ذخیره‌ای مشترک بین کشورهای حاشیه خلیج فارس و دریای عمان بویژه ذخایر مشترک آبهای ایران و کویت است (Parsamanesh, 2001).

این ماهی در کشورهای عربی زبیدی نامیده می‌شود و در سالهای اخیر میزان صید آن کاهش چشمگیری داشته بنحویکه از ۴۲۸۱ تن در سال ۱۳۷۶ به ۲۱۷ تن در سال ۱۳۸۳ در ایران و در آبهای کویت صید آن از ۱۱۰۰ تن در سال ۱۹۹۴ به ۱۲۰ تن در سال ۲۰۰۰ رسیده است.

Angel و همکاران در سال ۲۰۰۸ روی ماهی قباد (horse mackerel) بین ذخایر آبزیان اقیانوس اطلس و دریای مدیترانه تفاوت معنی داری پیدا نکردند. Gold و Richardson در سال ۱۹۹۱، در ۱۳ محل نمونه برداری در اقیانوس آرام از گونه Red drum (*Sciaenops ocellatus*) تفاوت معنی داری بین ساختار ژنتیکی جمعیت مورد بررسی بدست نیاورند.

Liu و همکاران در سال ۲۰۰۶ با استفاده از mtDNA جمعیت از باس ژاپنی (*Lateolabrax japonicus*) را در

جهت انجام PCR (مدل Corbett Research) یک میکروتیوب ۵۰۰ میکرولیتری انتخاب و مقدار ۱/۵ میکرولیتر ۱/۵ dNTP، ۰/۵ میکرولیتر آنزیم *Taq DNA polymerase* میکرولیتر ۱ تا ۵ میکرولیتر DNA (غلظت ۵۰ تا ۱۰۰ نانوگرم)، ۶ میکرولیتر بافر (x ۱۰) PCR، ۱/۵ میکرولیتر از هر پرایمر و مقدار معینی dH₂O به آن اضافه گردید بگونه ای که حجم کلی محلول درون لوله به ۵۰ میکرولیتر برسد. محتوی لوله را بدقت هم زده و لحظه‌ای سانتریفوژ گردید. جهت انجام PCR از برنامه ذیل استفاده شد:

مرحله اول: Denaturation ۹۴ درجه سانتیگراد بمدت ۳ دقیقه (چرخه)

مرحله دوم: Denaturation ۹۴ درجه سانتیگراد بمدت ۶۰ ثانیه Annealing ۶۰ درجه سانتیگراد بمدت ۶۰ ثانیه Extension ۲۲ درجه سانتیگراد بمدت ۹۰ ثانیه (۳۰ دقیقه چرخه)

مرحله سوم: Extension نهایی ۷۲ درجه سانتیگراد بمدت ۳ دقیقه (۱ چرخه)

برای اطمینان از درستی انجام PCR و نداشتن آلودگی یک تیوب بعنوان کنترل منفی قرار گرفت که محتویات آن شامل مخلوط مواد لازم برای PCR بغير از DNA الگو بود.

جهت کنترل کمی و کیفی محصول PCR، مقدار ۱۰ میکرولیتر از محصول PCR را همراه با مارکر اندازه ۵۰ bp DNA بر روی ژل آگارز ۱ درصد الکتروفوروز کرده و سپس با رنگ آمیزی اتیدیوم بروماید و با استفاده از اشعه UV باندهای DNA مورد بررسی قرار گرفته و وزن مولکولی آن محاسبه گردید.

جهت انجام هضم آنزیمی محصول PCR، نمونه‌ها متناسب با شدت باند DNA، ۱ تا ۲ میکرولیتر انتخاب و در یک میکروتیوب ریخته شد و مقدار ۲ میکرولیتر بافر آنزیم و ۰/۱ میکرولیتر آنزیم به آن اضافه گشت و سپس با dH₂O حجم آن به ۲۰ میکرولیتر رسانده شد. محلول فوق پس از مخلوط کردن بمدت ۲ تا ۳ ساعت در بن ماری ۳۷ درجه سانتیگراد قرار گرفته و سپس جهت بررسی کلیه نمونه‌ها همراه با مارکر ۵۰ bp بر روی ژل پلی اکریل آمید ۶ درصد الکتروفوروز و با رنگ آمیزی نیترات نقره باندهای ایجاد شده مورد بررسی قرار گرفته و وزن مولکولی هر باند محاسبه گردید.

در این تحقیق از ۱۶ آنزیم محدود الاثر استفاده شد. این آنزیمهای شامل: *Pst I*, *Hind III*, *Bcl I*, *Alu I*, *Tas I*, *Dra I*, *Alw26 I*, *Tru I*, *Hpa II*, *Hinf I*, *Hae III*, *EcoR I*, *Hinc II* و *Acc II*, *BseN I*, *Hin6I* بودند. براساس مشاهده باندهای DNA ناشی از الگوهای هضم آنزیمی روی ژل

این نمونه‌ها برای انجام آزمایشات مولکولی به آزمایشگاه ژنتیک مولکولی پژوهشکده اکولوژی دریای خزر منتقل و در درجه -۲۰ سانتیگراد نگهداری گردیدند.

استخراج DNA با بهینه کردن روش فل - کلروفرم انجام گردیده است (Hillis & Mortiz, 1990). در این روش مقدار ۵۰ تا ۱۰۰ میلیگرم از بافت باله را درون یک میکروتیوب قرار داده و مقدار ۵۰۰ میکرولیتر STE، ۵۰ میکرولیتر SDS و ۴ میکرولیتر پروتئیناز K ۱۰ میلیگرم در میلی لیتر (Roche) به آن اضافه شد. سپس نمونه‌ها بمدت ۳ تا ۴ ساعت در حمام آب گرم ۵۰ درجه سانتیگراد قرار داده شد. پس از اینکه بافت باله بخوبی حل گردید، مقدار ۵۰۰ اکی والان در لیتر فل به آن اضافه و سپس بمدت ۹۰ دقیقه در دمای اتاق بر روی شیکر قرار داده شد. پس از این مدت نمونه‌ها در ۱۳۰۰ rpm بمدت ۵ دقیقه سانتریفوژ گردید. پس از سانتریفوژ لاشه رویی را بدقت جدا و به یک لوله ۱/۵ میلی لیتری دیگر منتقل گردید. مقدار ۵۰۰ اکی والان در لیتر کلروفرم به آن اضافه و سپس بخوبی تکان داده و ۲۰ دقیقه شیکر و سپس بمدت ۵ دقیقه سانتریفوژ شد (۱۳۰۰ rpm). پس از سانتریفوژ مجدداً لاشه رویی را جدا کرده و مقدار ۴۰۰ اکی والان در لیتر استاتس سدیم و حدود ۲ برابر حجم برداشت شده (حدود ۸۰۰ اکی والان در لیتر) کل مطلق به آن اضافه شد. سپس نمونه‌ها پس از چند تکان آرام به مدت ۱۵ دقیقه در ۱۳۰۰ rpm سانتریفوژ گردید. رسوب شیری رنگ تشکیل شده را با الکل ۷۰ درجه شستشو و پس از خشک کردن مقدار ۵۰ اکی والان در لیتر آب مقطر استریل به آن اضافه و بمدت ۳۰ تا ۴۵ دقیقه در حمام آب گرم ۳۷ درجه سانتیگراد قرار داده تا DNA حل گردد.

جهت بررسی کمی و کیفی DNA استخراج شده از روش اسپکتروفوتومتری (مدل Beckman) و الکتروفوروز ژل آگارز ۱ درصد و رنگ آمیزی اتیدیوم برماید همراه با مارکر ۱۰۰ bp DNA بر روی ۱۳۰۰ rpm شد. در روش اسپکتروفوتومتری مقدار جذب نمونه‌ها در طول موج ۲۶۰ و ۲۸۰ نانومتر اندازه گیری شده است.

از آنجایی که هیچگونه اطلاعاتی از ژنوم میتوکندری این گونه یا گونه‌های متعلق به این جنس در دسترس نبود یک جفت پرایمر براساس توالی نوکلئوتیدهای ژن میتوکندریایی ND2 ماهی (Yagishita et al., 2002)

Forward : 5- AAG TAG ATG GAT GCT CGC T-3
Reverse : 5- AAA GCT TTC GGG CCC ATA CCC CG-3
پرایمرهای فوق توسط شرکت MWG Biotech آلمان ساخته شد.

- آنزیم *Hpa II* بر روی یک نمونه از منطقه خوزستان (اهواز) دارای الگوی پلیمورفیسم بود، به نحویکه الگوی ۳ باندی (۴۸۰، ۵۷۰ و ۲۵۰ جفت بازی) دیده شد و در سایر نمونه‌ها که الگوی یکسانی داشتند، الگوی ۲ باندی (۸۲۰ و ۴۸۰ جفت باز) دیده شد.

- آنزیم *Acc II* بر روی ۴ نمونه از ماهیان (۱ نمونه از منطقه خوزستان و ۳ نمونه از منطقه چابهار) دارای الگوی پلیمورفیسم بود، به نحویکه در ۱ نمونه از خوزستان و ۲ نمونه از چابهار الگوی ۳ باندی (۲۲۰، ۴۰۰ و ۶۸۰ جفت باز) و در یک نمونه از چابهار الگوی ۲ باندی دیگر (۱۵۰، ۲۰۰ و ۹۵۰ جفت بازی) و در سایر نمونه‌ها الگوی دو باندی یکسان (۲۲۰ و ۱۰۸۰ جفت بازی) دیده شد (شکل ۳).

- آنزیم *Alu I* بر روی ۴ نمونه از ماهیان (۱ نمونه از منطقه خوزستان، ۱ نمونه از منطقه کوبیت و ۲ نمونه از منطقه چابهار) دارای الگوی پلیمورفیسم بود، به نحویکه در ۱ نمونه از کوبیت و ۱ نمونه از چابهار الگوی ۳ باندی (۱۲۰، ۳۵۰ و ۸۳۰ جفت بازی)، در ۱ نمونه از منطقه خوزستان الگوی ۴ باندی (۹۰، ۱۲۰، ۱۲۰، ۴۲۰ و ۶۷۰)، در یک نمونه از منطقه چابهار الگوی ۶ باندی (۷۰، ۹۰، ۱۲۰، ۲۰۰، ۲۵۰ و ۴۷۰ جفت بازی) و در سایر نمونه‌ها الگوی ۵ باندی یکسان (۷۰، ۹۰، ۱۲۰، ۳۵۰ و ۶۷۰ جفت بازی) دیده شد.

سایر آنزیمهای بر روی محصول PCR در کلیه نمونه‌ها الگوی هضم آنژیمی مشابهی را ایجاد نمودند و همگی مونومورفیک بودند. هاپلوتیپ‌های AAAB، BAAA، AABA و AABA با فراوانی یک بعنوان هاپلوتیپ‌های نادر و کمیاب (Rare Haplotype) در منطقه خوزستان و هاپلوتیپ‌های نادر ACAAA و DAAA در منطقه چابهار و هاپلوتیپ نادر CAAA نیز فقط در منطقه کوبیت دیده شد و در جدول ۲ آورده شده است. در منطقه بوشهر هیچگونه پلیمورفیسمی مشاهده نشد.

الکتروفورز و مقایسه نمونه‌ها با هم در هر ژل و اندازه‌گیری باندهای UV.DOC با برنامه UV.DOC باندهای پلیمورفیک شمارش و ژنتیپ‌ها و هاپلوتیپ‌ها تعیین گردیدند. داده‌های بدست آمده از این تحقیق با استفاده از نرم‌افزار (McElroy *et al.*, 1992) REAP گرفت برای تمایز جمعیت‌های ذخایر مناطق مختلف از آزمون همانندسازی با ۱۰۰۰ بار تکرار (Monte carlo) استفاده شد (Roff & Bentzen, 1989).

نتایج

کیفیت DNA استخراج شده با روش فنل-کلروفرم مناسب بود (شکل ۱). پس از آنکه با استفاده از یک جفت پرایمر زن ND₂ به روش PCR، ناحیه مورد نظر تکثیر شد و در تمام نمونه‌ها باند DNA در اندازه ۱۳۰۰ جفت باز (bp) ظاهر گردید.

در این تحقیق از ۱۶ آنزیم محدود‌الاثر بر روی محصول PCR مورد استفاده قرار گرفته و الگوهای الکتروفورزی بر روی ژل پلی‌اکریل آمید بدست آمد. تعداد باندها و قطعات ایجاد شده بر اثر هضم آنزیمهای محدود‌کننده در جدول ۱ و شکل‌های ۲ و ۳ ارائه شده است.

از بین ۱۶ آنزیم بکار رفته، ۴ آنزیم (*Hinf I*, *Acc II*, *Alu I*, *Hpa II*) دارای الگوهای پلیمورفیسم بود و در بین ۱۶۲ نمونه‌ای که مورد بررسی قرار گرفت در ۱۳ نمونه این الگوها را بوجود آورد که در مجموع ۱۰ هاپلوتیپ متفاوت ایجاد کرد (جدول ۲).

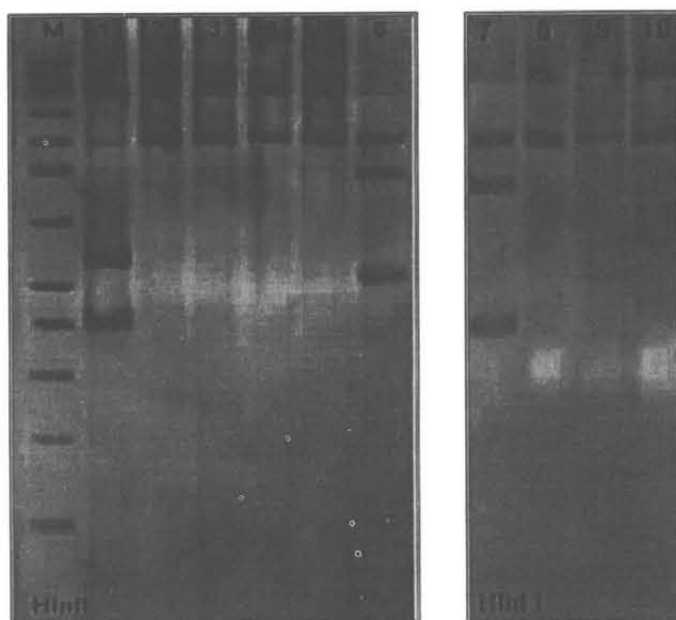
- آنزیم *Hinf I* بر روی نمونه‌ها دارای الگوهای پلیمورفیسم بوده بنحویکه در ۳ نمونه از ماهیان (۱ نمونه از خوزستان و نمونه از کوبیت) دارای الگوهای ۳ باندی و در ۱ نمونه از منطقه چابهار دارای الگوی دو باندی متفاوت و در سایر نمونه‌ها دارای الگوی ۲ باندی یکسان بوده است. اندازه باندها در هر سه حالت شامل ۳ باندی (۲۵۰، ۳۰۰، ۷۵۰ جفت باز) و در دو باندی متفاوت (۱۱۵۵ و ۱۲۵ جفت باز) و در سایر نمونه‌ها (۷۴۰ و ۵۶۰ جفت باز) بوده است (شکل ۲).



شکل ۱: الکتروفورز DNA بر روی ژل آگارز (۱ درصد) رنگ‌آمیزی با اتیدیوم بروماید

جدول ۱: تعداد بازه‌های شناسایی شده، تعداد و اندازه قطعات ایجاد شده بر اثر هضم آنزیمی محصول PCR

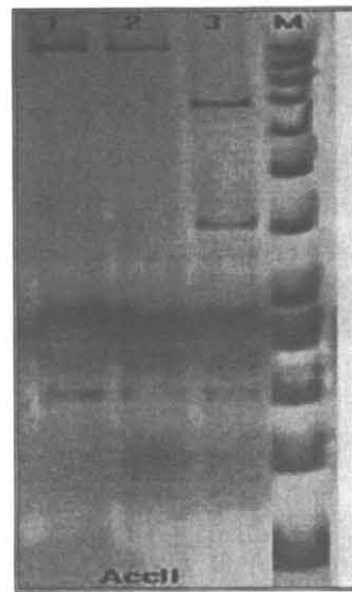
ردیف	آنژیم	تعداد قطعات	اندازه قطعات حاصل از هضم آنزیم	جاگاه شناسایی
۱	<i>Hinf I</i>	۲	۵۶۰, ۷۴۰	۵'-G ^A N T C-3'
۲	<i>Hae III</i>	۳	۷۰, ۱۰۰, ۱۱۳۰	۵'-G G ^C C-3'
۳	<i>Eco RI</i>	۲	۷۰, ۱۲۳۰	۵'-G A A T T C-3'
۴	<i>Pst I</i>	۲	۵۰۰, ۸۰۰	۵'-C T G C A ^G -3'
۵	<i>Hind III</i>	۳	۷۰, ۱۳۰, ۱۱۰۰	۵'-A ^A A G C T T-3'
۶	<i>Bcl I</i>	۴	۹۰, ۱۴۰, ۳۶۰, ۷۱۰	۵'-T ^A G A T C A-3'
۷	<i>Tru I</i>	۷	۶۰, ۷, ۱۳۰, ۱۶۰, ۱۷۰, ۲۷۰, ۴۴۰	۵'-T ^A T A A-3'
۸	<i>Alu I</i>	۵	۷۰, ۹۰, ۱۲۰, ۳۵۰, ۶۷۰	۵'-A G ^C T-3'
۹	<i>Acc II</i>	۲	۲۲۰, ۱۰۸۰	۵'-C G ^{CG} -3
۱۰	<i>Dra I</i>	۲	۷۰۰, ۷۰۰	۵'-T T T ^A A A-3'
۱۱	<i>Tas I</i>	۵	۷۰, ۱۴۰, ۱۶۰, ۴۰۰, ۵۳۰	۵'-A A T T-3'
۱۲	<i>Hpa II</i>	۲	۴۸۰, ۸۲۰	۵'-C ^C G G-3'
۱۳	<i>BseN I</i>	۳	۱۴۰, ۱۸۰, ۹۸۰	۵'-A C T G G N ^A -3'
۱۴	<i>Alw26 I</i>	۲	۵۰۰, ۸۰۰	۵'-G T C T C (N) _۱ ^A -3'
۱۵	<i>Hin6 I</i>	۳	۷۰, ۲۰۰, ۱۰۳۰	۳'-C A G A G (N) _۵ ^A -5'
۱۶	<i>Hinc II</i>	۲	۳۲۰, ۹۸۰	۵'-G T P ^y ^{Pu} A C-3'



شکل ۲: الگوی هضمی مربوط به آنزیم *Hinf I* ستونهای شماره ۱، ۲، ۳ و ۴ مربوط به نمونه‌های آبهای خلیج فارس منطقه خوریات خوزستان، ۵، ۶ و ۷ آبهای خلیج فارس منطقه کویت و ۸، ۹، ۱۰ آبهای دریای عمان منطقه چابهار و M نشانگر مولکولی است.

نتایج آنالیز آماری با برنامه REAP و استفاده از ۴ هاپلوتیپ و حذف هاپلوتیپ‌های نادر، میانگین عددی تنوع هاپلوتیپ‌ها و میانگین عددی تنوع نوکلئوتیدها درون مناطق مورد بررسی را $143 \pm 87.5 / 100$ و $4 \pm 1000.4 / 1000$ برتریب نشان داده است. همچنین در این بررسی میانگین عددی تنوع نوکلئوتیدها و درون مناطق مورد بررسی برابر با $123.8 \pm 1000.4 / 1000$ و حداتر تنوع نوکلئوتیدی در بین ۴ منطقه مورد مطالعه برابر با $224.7 \pm 1000.2 / 1000$ و حداقل آن برابر با $277 \pm 1000.1 / 1000$ و میانگین آن نوکلئوتیدی در بین مناطق مورد بررسی $125.8 \pm 1000.1 / 1000$ محاسبه گردیده است و نیز نتایج حاصل از ۱۰۰۰ بار تکرار با استفاده از روش Monte carlo (Roff & Bentzen, 1989)، نشان داد که تفاوت آماری معنی‌داری از لحاظ پراکنش هاپلوتیپ‌ها در مناطق مختلف مورد بررسی وجود ندارد ($P > 0.05$)

$$(\chi^2 = 8/68, P \geq 0.05)$$



شکل ۳: الگوی هضمی آنزیم Acc II:

ستونهای ۱ و ۲ مربوط به نمونه‌های آبهای خلیج فارس، ستون ۳ آبهای دریای عمان (منطقه چابهار) و M نشانگر مولکولی است.

جدول ۲: توزیع هاپلوتیپ‌ها در ۴ منطقه مورد بررسی. (از ذکر ۶ هاپلوتیپ نادر یاد شده صرف نظر شده است)

منطق	CAAAD	ABAA	AAAC	AAAA	جمع
کویر	۱	۰	۲	۳۷	۳۷
چابهار	۱	۲	۰	۳۷	۴۰
بوشهر	۰	۰	۰	۳۸	۳۸
خوزستان	۰	۱	۰	۴۰	۴۱
جمع	۲	۳	۲	۱۴۹	۱۴۹

بحث

(*Lateolabrax japonicus*)، دو جمعیت بسیار زیپنی (Acipenseridae) و همکاران در سال ۲۰۰۶ و ساختار ژنتیکی جمعیت شانک وحشی و پرورشی (*Sparus aurata*) توسط Alarcon و همکاران در سال ۲۰۰۴ از همدیگر جدا شدند. در عین حال با همین روش عقلی در سال ۱۳۸۴ روی جمعیت‌های ماهی کلمه، لالونی و همکاران در سال ۱۳۸۲ ساختار جمعیت سس ماهی در سال ۱۳۸۲ Pourkazemi در سال ۱۹۹۶ ساختار جمعیت گونه‌های ماهیان خاویاری دریای خزر، Rezvani Gilkolaei (*Rutilus rutilus caspicus*) سواحل جنوبی دریای خزر، Angel و همکاران در سال ۲۰۰۸ روی جمعیت ماهی قباد (horse mackerel) از ذخایر آبزیان اقیانوس اطلس و دریای مدیترانه و Gold و Richardson در سال ۱۹۹۱ روی جمعیت گونه Red drum (*Sciaenops ocellatus*) در اقیانوس آرام مطالعه نمودند اما قادر به تفکیک جمعیت‌ها نشدند.

بعلاوه قدرت تمایز mtDNA نسبت به نشانگرهای هسته‌ای در بررسی‌های متعددی از جمله در قزل آلای اقیانوس اطلس (Buonaccorsi *et al.*, 2001b), در قباد اسپانیایی (*makaira nigricans*) Blue marlin و همچنین در walleye (Buonaccorsi *et al.*, 2001a) pollock ساختار ژنتیکی فقط بوسیله mtDNA تشخیص داده شد. میزان تنوع هاپلوتیپ‌ها در منطقه کویت بالاترین مقدار را داشت 0.1562 ± 0.07858 و در منطقه بوشهر کمترین مقدار و برابر صفر بوده است. تنوع نوکلئوتیدها نیز در منطقه کویت 0.002672 و بیشترین سطح را داشت. میانگین تنوع نوکلئوتیدی درون جمعیت‌های مورد بررسی براسر با 0.000004 و میانگین تنوع هاپلوتیپی براسر با 0.00143 است. میانگین اختلاف نوکلئوتیدی در بین مناطق مورد بررسی با استفاده از آنالیز مولکولی RFLP بر روی ND_2 درصد می‌باشد. وجود پلی‌مورفیسم اندک در نمونه‌های مورد تحقیق ممکن است به یکی از دلایل زیر باشد: وجود الگوهای نادر که حدود ۶ مورد آن مشاهده شده است، حاکی از وجود گروههایی بوده که در گذشته وجود داشته و به مرور زمان بر اثر فشار صید و صیادی جمعیت آنها شدیداً کاهش پیدا کرده یا وجود این الگوهای نادر بیانگر ظاهر شدن گروههای جدید بر اثر شرایط متوالی متوسپ شده باشد که تعداد آنها در

DNA به روش فنل-کلرفرم با کیفیت مناسب استخراج گردید. پرایمرهای مورد استفاده در این بررسی که براساس توالی نوکلئوتیدی زن ND_2 ماهی کپور معمولی (*Cyprinus carpio*) (Yagishita *et al.*, 2002) استخراج شده در گونه *Pampus argenteus* در واکنش PCR منجر به تکثیر باند تقریباً هم اندازه با طول زن ND_2 کپور معمولی در حدود ۱۳۰۰ جفت باز گردید.

از ۱۶ آنژیم اندونوکناز ۴ آنژیم *Hinf I, Hpa II, Acc II* و *Alu I* دارای الگوهای پلی‌مورفیسم در ۱۳ نمونه از ۱۶۲ نمونه بودند. هاپلوتیپ‌های شناسایی شده منجر به نامگذاری ۱۰ نوع ترکیب هاپلوتیپی شد که از بین این هاپلوتیپ‌ها ۶ مورد هاپلوتیپ نادر بود. یعنی فقط در یک نمونه شناسایی شد، از این هاپلوتیپ‌ها بنایه دستورالعمل برنامه REAP در محاسبات آماری صرفنظر شد. هاپلوتیپ AAAA در بین ۴ منطقه کویت، چابهار، بوشهر و خوزستان با فراوانی بسیار بالای مشترک است. هاپلوتیپ AAC با فراوانی (۲) فقط در منطقه کویت دیده شد. هاپلوتیپ ABAA با فراوانی (۲ و ۱) بترتیپ در منطقه چابهار و خوزستان، هاپلوتیپ CAAD با فراوانی (۱ و ۱) نیز در بین منطقه کویت و چابهار مشترک بوده است. در منطقه بوشهر هیچگونه پلی‌مورفیسمی دیده نشد (جدول ۲).

برای مقایسه فراوانی هتروزیستی جغرافیایی هاپلوتیپ‌ها در کل نمونه‌های مورد بررسی در مناطق مختلف برنامه شبیه‌سازی χ^2 با استفاده از روش Monte Carlo (Roff & Bentzen, 1989) اجرا شد، آنالیز داده‌ها حاکی از غیر معنی‌دار بودن آماری پراکنش هاپلوتیپ‌ها در خلیج فارس و دریای عمان در آبهای ایران و کویت بود.

$\chi^2 = 8/68, P \geq 0.05$

پلی‌مورفیسم ژنوم میتوکندری و هسته بعنوان شاخصهای ژنتیکی ارزشمند در ارزیابی ژنوم و ساختار جمعیتی و محافظت از ذخایر ژنی گونه‌های مورد مطالعه مطرح می‌باشند (Sorgeloos, 1997). این در حالی است که با استفاده از مولکول mtDNA توسط Rezvani Gilkolaei در سالهای ۱۹۹۷ و ۲۰۰۰ جمعیت‌های چالباش و فیل ماهی از ذخایر دریای خزر و همچنین، کپور معمولی و وحشی از اروپا، آسیای شرقی و ترکیه توسط Kohlmann در سالهای ۲۰۰۰ و ۲۰۰۶ Eimanifar و همکاران در سال

Al-Hossani در سال ۲۰۰۰ وجود تخم و لارو زبیدی را در آبهای کوتی و وجود لاروها را در آبهای ایران نیز متذکر شد، نمونه برداری از مراحل اولیه لاروهای مناطق مختلف آبهای خلیج فارس و دریای عمان که دارای قدرت مهاجرت زیادی نیستند و عموماً در محلهای تخریبی و هجری تغذیه می‌کنند، می‌تواند برای بررسی دقیق‌تر مورد استفاده قرار گیرد و همچنین برای تکمیل این تحقیق در آینده نزدیک با استفاده از روش ریز ماهواره براساس پرایمرهای اختصاصی این گونه که از طریق دیگران معرفی شده (Gen Hua Yue, 2006) توسط نگارنده و همکاران صورت خواهد پذیرفت، که انتظار می‌رود نتایج جامع و کاملی از ساختار ژنتیک جمعیت این گونه را نشان دهد.

منابع

- ستاری، م.؛ شاهسونی، د. و شفیعی، ش.، ۱۳۸۲. ماهی شناسی (۲) (سیستماتیک). ۵۰۲ صفحه.
- عقلی، ر.، ۱۳۸۲. بررسی تنوع ژنتیکی در خانواده کپور ماهیان دریای خزر به روش PCR-RFLP. پایان‌نامه دوره دکتری حرفه‌ای دامپزشکی. دانشگاه آزاد، واحد گرمسار. ۱۴۲ صفحه.
- العلوی، ف.؛ رضوانی گیل کلائی، س. و پورکاظمی، م.، ۱۳۸۲. بررسی مولکولی جمعیت ماهی *Barbus capito* در آبهای حوضه جنوبی دریای خزر بروش PCR-RFLP. مجله علمی شیلات ایران، سال دوازدهم، شماره ۱، بهار ۱۳۸۷، صفحات ۱۱۷ تا ۱۳۰.
- ولی‌نسب. ت.؛ دریانبرد. غ.؛ دهقانی، ر.؛ درویشی، خ. و صفائی خانی، ح.، ۱۳۸۳. گزارش نهایی پژوهه تعیین میزان توده زنده کفزیان خلیج فارس و دریای عمان به روش مساحت جاروب شده. انتشارات مؤسسه تحقیقات شیلات ایران. ۱۲۷ صفحه.
- Alarcón, J.A. ; Magoulas, A. ; Georgakopoulos, T. ; Zouros, E. and Alvarez, M.C. , 2004. Genetic comparison of wild and cultivated European populations of the gilthead sea bream (*Sparus aurata*). Aquaculture, Vol. 230, Issues 1-4, pp 65-80.

حدائق بوده و ممکن است در آینده دارای ویژگی‌هایی شوند که در گروههای غالب با برتر قرار گیرند. دلیل دیگر اینکه، ژن ND₂ با استفاده از ۱۶ آنزیم قطع کننده حدوداً ۱۳ /۵۳ درصد (۱۷۶bp) از کل محصول PCR (۱۲۰۰ bp) به طور مستقیم مورد بررسی قرارداد. درواقع طول زیادی از ژن بررسی نشد، این مساله حاکی از نارسایی این تکنیک بوده است، برای اینکه درصد بالاتری از ژن مورد بررسی قرار گیرد و نتایج حاصله قابل استنادتر باشد نیاز به استفاده از آنزیم‌های بیشتری می‌باشد و نیز استفاده از ژن‌های بیشتر در میتوکندری و همچنین روش توالی یا ژن‌های میتوکندری (sequencing) می‌تواند تصویر بهتری از این گونه ارائه دهد.

گونه‌های ساکن پلازیک طی روز یک مهاجرت عمودی از محدوده پلازیک به آبهای عمیق‌تر دارند و بر عکس آن در شب اتفاق می‌افتد، این یک ویژگی رفتاری است که می‌تواند سبب پتانسیل بالایی برای جریان ژن و پراکندگی گردد (Giussi & Wöhler, 2001). برخلاف محیطهای خاکی، در قلمروهای آبی عموماً مزهای جغرافیایی برای جریان ژن و پراکندگی ارگانیسمها وجود ندارد. گونه‌هایی با اندازه جمعیت بزرگ و پراکندگی وسیع مانند ماهیان پلازیک در میان مقیاسهای بزرگ جغرافیایی دارای ساختار ژنتیکی یکسانی هستند (Ovenden, 1999; Lundy *et al.*, 1999; Shaw *et al.*, 1999; D'Amato *et al.*, 2005; Ruzzente *et al.*, 1999).

در بررسی‌های Al-Hossani در سال ۲۰۰۰ ذکر شده است که ماهی زبیدی از آبهای کوتی به آبهای عراق وارد می‌شود و سپس به سوی خورهای ایران می‌رود و تخریبی می‌کند. اگر نتیجه این تحقیق را با آنچه Al-Hossani در سال ۲۰۰۰ ذکر کرده و Parsamanesh و همکاران در سال ۲۰۰۱ با آنالیز فراوانی طول ثابت نموده است که زبیدی ایران، عراق و کوتی از یک ذخایر می‌باشند، مطابقت داده شود حاکی از عدم وجود جمعیت‌های متفاوت در آبهای ایران و کوتی در خلیج فارس است و عبارت دیگر احتمال می‌رود که یک جمعیت واحد در خلیج فارس زندگی می‌کند.

اما در آبهای دریای عمان و منطقه چابهار احتمال وجود جمعیت جداگانه‌ای داده می‌شد، اما بدليل محدود بودن تعداد نمونه‌ها تفاوت معنی‌داری با نمونه‌های جمع‌آوری شده در خلیج فارس مشاهده نشد.

- Al-Hossani, M. , 2000.** Fisheries of shared stock of the silver pomfret, *Pampus argenteus*, The northern Gulf; A case study. FAO corporate Document Repository, Originated by: Fisheries Department.
- Al-Hossani, M. , 2002.** Fishery of shared stock of the silver pomfret, *Pampus argenteus*, In the Northern Gulf; A case study. Presented to: Norway-FAO Expert Consultation on the Management of Shared Fish Stocks Bergen, Norway, 7-10 October.
- Angel, S.C.; M-Areal, T. and Sanjuan, A. , 2008.** Genetic variation in the mitochondrial DNA control region among horse mackerel (*Trachurus trachurus*) from the Atlantic and Mediterranean areas. *Fisheries Research*, Vol. 89, Issue 2, pp 122-131.
- Avise, J.C., Neigel, J.E. and Arnold, J. , 1984.** Demographic influences on mitochondrial DNA lineage survivorship in animal populations. *Journal of Molecular Evolution*, Vol. 20, pp.99-100.
- Buonaccorsi, V.P. ; McDowell, J.R. and Graves, J.E. , 2001a.** Reconciling patterns of inter-ocean molecular variance from four classes of molecular markers in blue marlin (*Makaira nigricans*). *Molecular Ecology*, Vol. 10, pp.1179-1196.
- Buonaccorsi, V.P. ; Starkey, E. and Graves, J. E. , 2001b.** Mitochondrial and nuclear DNA analysis of population subdivision among young-of-the-year Spanish mackerel (*Scomberomorus maculatus*) from the western Atlantic and Gulf of Mexico. *Journal of Marine Biology*, Vol. 138, pp.37-45.
- Cho, K.D. ; Kim, J.C. and Choe, Y.K. , 1989.** Studies on the biology of pomfrets *Pampus* spp. in the Korean waters and distribution and fishing condition. *Bulletin of Korean Fisheries Society*, Vol. 22, pp.294- 305.
- D'Amato, M.E. and Carvalho, G.R. , 2005.** Population genetic structure and history of the long-tailed hake, *Macruronus magellanicus*, in the SW Atlantic as revealed by mtDNA RFLP analysis. *ICES Journal of Marine Science* , Vol. 62, pp. 247-255.
- Eimanifar, A. ; Rezvani, S. and Carapetian, J. , 2006.** Genetic differentiation of *Artemia urmiana* from various ecological populations of Urmia Lake assessed by PCR amplified RFLP analysis. *Journal of Experimental Marine Biology and Ecology*, Vol. 333, pp.275-285.
- Giussi, A.R. and Wohler, O.C. , 2001.** Estimación de la edad y la longitud de primera madurez de la merluza de cola (*Macruronus magellanicus*) del Mar Argentino. Informe Técnico Interno INIDEP, Vol. 82, pp. 6. (abstract in English).
- Hua Yue, G. ; Yang, W.T. and Li, J. , 2006.** Multiplex genotyping of novel microsatellites from Silver pomfret (*Pampus argenteus*) and cross-amplification in other pomfret species. *Molecular Eclogy Notes* 6, pp.1073-1075.
- Graves, J.E. ; Ferris, S.P. and Dizon, AE. , 1984.** Close genetic similarity Atlantic and Pacific skipjack tuna demonstrated with restriction endonuclease analysis of mtDNA. *Journal of Marine Biology*, Vol. 79, pp.315-319.
- Hillis, D.M. and Mortiz. C. , 1990.** Molecular taxonomy. Sinauer associate Inc. publishers, Massachusetts, USA. 120P.
- Hynes, A. ; Ferguson, A. and McCann, M.A. , 1996.** Variation in mtDNA and post-glacial clonisation of north- estern Europe by brown trout. *Journal of Fish Biology*, Vol. 48, pp.54-61.

- Kagwade, P.V. , 1988.** Pomfret resources along north-west coast of India. In: Living resources of the Indian Seas, Bombay Research Centre, Central Marine Fisheries Research Institute, Bombay, India. pp.219- 224.
- Kohlmann, K. ; Kersten, P. ; Gross, R. , 2002.** PCR-RFLP analysis of the mitochondrial ND-3/4 and ND-5/6 gene polymorphism in the European and East Asian subspecies of common carp (*Cyprinus carpio* L.). Aquaculture, Vol. 204, pp.507-516.
- Kohlmann, K. and Memis, D. , 2006.** Genetic characterization of wild common carp (*Cyprinus carpio* L.) from Turkey. Aquaculture, Vol. 258, pp.257-262.
- Liu, J.X. ; Gao, T.X. ; Yokogawa, K. and Zhang,Y.P. , 2006.** Differential population structuring and demographic history of two closely related fish species, Japanese sea bass (*Lateolabrax japonicus*) and spotted sea bass (*Lateolabrax maculatus*) in northwestern Pacific. Molecular Phylogenetics and Evolution, Vol. 39, Issue 3, pp.799-811.
- Lundy, C.J. ; Moran, P. ; Rico, C. ; Milner, R. S. and Hewitt, G.M. , 1999.** Macrogeographical population differentiation in oceanic environments: a case study of European hake (*Merluccius merluccius*), a commercially important fish. Molecular Ecology, Vol. 8, pp.1889-1898.
- McElroy, D. ; Morar, P. ; Birmingham, E. and Cornfield, L. , 1992.** REAP: An integrated environment for the manipulation and phylogenetic analysis of restriction data. Journal of Heredity, Vol. 83, pp.157-158.
- Parsamanesh, A. , 2001.** A comparison of *Pampus argenteus* stock parameters in east and west Asia. Indian Journal of Fish, Vol. 48, No. 1, pp.63-70.
- Ovenden, J.R. , 1990.** Mitochondrial DNA and marine stock assessment: A review. Australian Journal of Marine and Freshwater Research, Vol. 41, pp.835-853.
- Pati, S. , 1982.** Studies on the maturation spawning and migration of silver pomfret, *Pampus argenteus* (Euphrasen) from Bay of Bengal. Matsya, Vol. 8, pp.12-22.
- Pourkazemi, M. , 1996.** Molecular and biochemical genetic analysis of sturgeon stock from the south Caspian Sea School of Biological Science, University of Wales, UK. 258P.
- Rezvani Gilkolaei, S. , 1997.** Molecular population genetic studies of sturgeon species in the south Caspian Sea. School of Biological Sciences, University of Wales, UK. 196P.
- Rezvani Gilkolaei, S. , 2000.** Study of mtDNA variation of Russian sturgeon population from the south Caspian Sea using RFLP analysis of PCR amplified ND5/6 gene regions. Iranian Journal of Fisheries Sciences, Vol. 2, No. 1, pp.13-36.
- Rezvani Gilkolaei, S. ; Emanifar, A. ; Aghili, R. and Lafoei, F. , 2006.** PCR-RFLP analysis of mitochondrial DNA for identification of *Rutilus rutilus caspicus* populations on the southern coast of the Caspian Sea, Iran. Journal of Marine Biological Association of the United Kingdom, Vol. 86, pp.1463-1467.
- Richardson, R. and Gold, J. , 1991.** Genetic studies in marine fishes. IV. An analysis of population structure in the red drum (*Sciaenops ocellatus*) using mitochondrial DNA. Fisheries Research, Vol. 12, Issue 3, pp. 213-241.
- Roff, A. and Bentzen, P. , 1989.** The statistical analysis of mitochondrial DNA polymorphisms: c2 and the problem of small samples. Journal of Molecular Biology and Evolution, Vol. 6, pp 539-545.

- Sorgeloos, P. , 1997. Determination and identification of biological characteristics of *Artemia urmiana* for application in aquaculture. In: Sorgeloos, P. (Ed.), The Lake Urmiah Cooperation Project,Item A. Laboratory of Aquaculture and Artemia Reference Center,Belgium, pp.1–50.
- Tessier, N. ; Bernatchez, L. ; Presa, P.; and Angers, B. , 1995. Gene diversity analysis of mitochondrial DNA, microsatellites and allozymes in landlocked Atlantic salmon. Journal of Fish Biology, Vol. 47 (Suppl. A), pp. 156-163.
- Yagishita, N. ; Kobayashi, T. and Nakabo, T. , 2002. Review of monophyly of the kypnosidae inferred from the mitochondrial ND2 gene. Ichthyology Research, Vol. 49, pp.103-108.

**Molecular evaluation of the population of
Silver Pomfret (*Pampus argenteus*)
in the Persian Gulf and Oman Sea
(Iranian & Kuwaiti waters)**

**Rezvani Gilkolaei S.^{(1)*} ; Golestany N.⁽²⁾ ; Fatemi M.⁽³⁾ ; Laloei F.⁽⁴⁾ and
Ghofle Maramazi J.⁽⁵⁾**

Rezvani@ifro.ir

1 - Iranian Fisheries Research Organization, P.O.Box: 14155-6116 Tehran, Iran

2,3 - Science and Research Branch, Islamic Azad University, P.O.Box: 14515-775 Tehran, Iran

4 - Caspian Sea Ecology Center, P.O.Box: 961 Sari, Iran

5 - South Aquaculture Research Center, P.O.Box: 61645-877 Ahwaz, Iran

Received: Februry 2007

Accepted: January 2009

Keywords: PCR-RFLP, *Pampus argenteus*, Persian Gulf and Oman Sea, Iran

Abstract

A total of 162 specimens of Silver Pomfret (*Pampus argenteus*) including 38 samples from Kuwait and 124 samples from Iran (24 from Khuzestan, 24 from Chabahar and 38 from Bushehr) were examined for their DNA structure. DNA from all specimens was extracted using the Phenol-chloroform and amplified using PCR method with a pair of primers with ND₂ gene sequence. The PCR products were about 1300 (bp) for all samples. For RFLP analysis 16 restriction enzymes *Bcl I*, *Pst I*, *Acc II*, *BseN I*, *Tru I*, *Dra I*, *Alw26 I*, *Hin6 I*, *Tas I*, *Alu I*, *EcoR I*, *Hae III*, *Hinc II*, *Hind III*, *Hinf I* and *Hpa II* were used. DNA bands were visualized by Gel electrophoresis (polyacrylamid) and staining with silver nitrate. Out of 16 enzymes, four showed polymorphism that includedg *Hinf I*, *Alu I*, *Acc II*, and *Hpa II*. Of the total 162 samples, 13 showed polymorphic patterns. Six haplotypes were rare occurring only once, but others which were only four different kinds occurred more than once. The REAP test gave no significant result for the examined regions (P>0.05). Therefore, our results revealed that the *Pampus argenteus* stocks in the Persian Gulf and Oman Sea of Iranian and Kuwaiti waters constitute a unique population.

* Corresponding author